

УДК 539.219.3 669.3

## ОСОБЕННОСТИ КОАЛЕСЦЕНЦИИ ТОНКИХ ПЛЕНОК Au—Ge ПРИ ФОРМИРОВАНИИ КОНТАКТОВ ОГРАНИЧЕННЫХ РАЗМЕРОВ

Т. А. Брянцева, В. В. Лопатин, В. Е. Любченко

Исследованы особенности коалесцентного распада тонких пленок (0.05—0.1 мкм) Au—Ge (Ge до 5 вес. %) в процессе формирования невыпрямляющих контактов малых размеров к полупроводникам типа A<sup>3</sup>B<sup>5</sup>. Образцы изготавливались следующим образом. Поверхность полупроводника (GaAs, InP) покрывалась слоем окиси кремния, в котором затем с помощью фотолитографии вскрывались контактные окна, обнажающие поверхность полупроводника. Далее на поверхность полученной структуры методом термического испарения в вакууме осаждались пленки металла. Показано, что в интервале температур 570—690 К происходит частичный перенос материала пленки с поверхности SiO<sub>2</sub>, на вскрытые участки полупроводника и коалесценция металлической пленки на SiO<sub>2</sub> вплоть до полного распада на изолированные островки, что объясняется различием коэффициентов термического расширения для исследуемых материалов: золота, окиси кремния и полупроводника. Показана возможность получения изолированных контактов заданной формы и малых размеров, в частности, омических контактов к n-InP площадью ~50 мкм<sup>2</sup> и с малым переходным сопротивлением.

Известно, что в сплошной металлической пленке, полностью покрывающей подложку, при термическом отжиге может протекать процесс коалесценции вплоть до полного распада на изолированные островки [1—3]. В [2] было показано, что поликристаллическая пленка, нанесенная на поверхность кристалла, неустойчива и ее распад на изолированные островки термодинамически оправдан. Коалесценция пленки в случае изменения температуры системы может вызываться напряжениями, возникающими из-за различия коэффициентов термического расширения пленки и подложки. При этом наблюдается так называемый «буторковый» механизм распада [2, 4]. В [5] показано, что кинетика роста бугорков и соответственно кинетика распада пленки на изолированные островки определяется диффузионным переносом вещества к бугорку из окружающей пленки.

В настоящей работе исследованы особенности коалесцентного распада тонких металлических пленок Au—Ge в процессе формирования контактов малых размеров, необходимых для изготовления диодов Ганна и других приборов из арсенида галлия и фосфида индия.

Образцы в виде монокристаллического арсенида галлия или фосфида индия предварительно покрывались пленкой окиси кремния толщиной 0.2—0.3 мкм, в которой затем с помощью фотолитографии были вскрыты окна в виде дисков диаметром 8—20 мкм с расстояниями между центрами окон 15—40 мкм. Тонкие пленки золота толщиной 0.05—0.1 мкм с небольшими (до 5 вес. %) добавками германия осаждались методом термического испарения в вакууме ~10<sup>-4</sup> Па, а затем подвергались термическому отжигу в вакууме в интервале температур 570—820 К.

Оказалось, что в процессе отжига на поверхности SiO<sub>2</sub> происходит коалесценция металлической пленки, а также частичный перенос материала пленки в окна, где вскрыта поверхность полупроводника. При этом вдали от окон на поверхности SiO<sub>2</sub> образуются изолированные островки

металла. Исследования топографии поверхности структур при различных температурно-временных режимах отжига позволили уточнить характер протекания этого процесса. Перенос материала пленки в окна заметен уже при температуре  $T \sim 570$  К после отжига в течение одного часа. Пленка металла вокруг окон утоньшается, хотя и остается еще сплошной. На микрофотографии, приведенной на рис. 1, б, вокруг окон видны характерные разводы, имеющие буроватый (цвета окисла) оттенок. В результате отжига при  $T \sim 620$  К в течение 1 часа утоньшенные вокруг окон участки пленки рвутся, обнажая поверхность  $\text{SiO}_2$ , и процесс массопереноса заканчивается перемещением значительной части металла в окна (рис. 1, в). В то же время вдали от окон пленка на поверхности  $\text{SiO}_2$  испещрена бугорками и порами, что свидетельствует о протекании коалесцентного распада по «бугорковому» механизму. При  $T \sim 670$  К, 1 мин вид поверхности образцов аналогичен картине, полученной в ре-

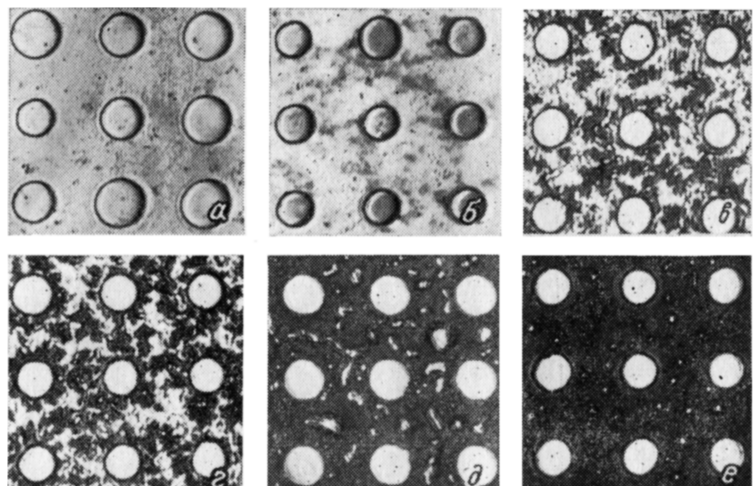


Рис. 1. Микрофотографии поверхности образцов из InP с пленкой золота толщиной  $\sim 0.05$  мкм после отжига.

*a* — исходный образец, *b* —  $T \sim 570$  К, 1 ч; *c* —  $T \sim 620$  К, 1 ч; *d* —  $T \sim 670$  К, 1 мин; *e* —  $T \sim 690$  К, 1 мин; *f* —  $T \sim 770$  К, 1 мин;  $\times 800$ , косое освещение.

зультате отжига при  $T \sim 620$  К в течение 1 ч (рис. 1, *c*). С увеличением температуры отжига на поверхности  $\text{SiO}_2$  вдали от окон формируются изолированные островки вытянутой неравновесной формы. При  $T \sim 770$  К (1 мин) происходит видоизменение островков металла на  $\text{SiO}_2$  к более равновесной форме (рис. 1, *e*). Отжиг при  $T \sim 820$  К (1 мин) не приводит к заметным изменениям островков на  $\text{SiO}_2$ . Важным методом с точки зрения создания невыпрямляющих контактов к GaAs и InP является то, что благодаря массопереносу толщина пленки золота в окнах достигает  $\sim 0.3$  мкм (при толщине напыленного слоя  $\sim 0.05$  мкм). Отметим, что во всех случаях пленка металла в окнах имеет однородную поверхность.

В более тонких пленках ( $\sim 0.02$  мкм) при тех же условиях отжига происходит обычный процесс коалесценции, вплоть до полного распада на изолированные островки без заполнения окон. То же самое наблюдается и с увеличением толщины окисного слоя ( $\sim 0.4$  мкм). При этом пленка металла в начале отжига рвется по контуру окна. В последнем случае увеличение толщины пленки металла до  $\sim 0.1$  мкм снова позволяет наблюдать массоперенос в окна.

Аналогичные процессы наблюдаются при произвольной конфигурации окон. В частности, в настоящей работе проводились исследования описанных выше процессов на структурах с окнами в виде колец диаметром

500 мкм и шириной 5–20 мкм (рис. 2). При этом процесс переноса материала в окна захватывает довольно значительную область пленки металла на  $\text{SiO}_2$  вокруг окна — кольцо шириной 7–9 мкм (рис. 2, б). Поэтому для контролируемого заполнения окон при формировании невыпрямляющих контактов важно правильно подобрать соотношение между толщиной пленки металла, плотностью расположения окон и площадью окна. Так, при толщине пленки металла  $\sim 0.05$  мкм на структурах с формой контактных окон в виде дисков из-за малого расстояния между окнами практически весь материал пленки переносится в окна. На структурах с контактными окнами в форме колец расстояние между окнами было выбрано большим ( $\sim 1$  мм) и отчетливо выделяется область  $\text{SiO}_2$  в виде кольца шириной 7–9 мкм, свободная от пленки металла.

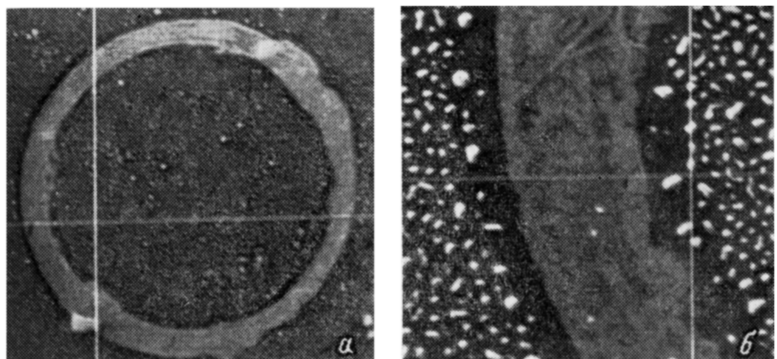


Рис. 2. Микрофотографии поверхности образцов с окнами GaAs в виде колец, толщина пленки золота  $\sim 0.05$  мкм, отжиг при  $T \sim 770$  К, 1 мин.  
а — общий вид одного кольца,  $\times 80$ ; б — часть этого кольца,  $\times 320$ .

Для объяснения наблюдаемых явлений заметим, что в структурах такого типа наблюдаются большие внутренние напряжения, связанные как с дефектами, возникающими в процессе роста пленок, так и термического происхождения из-за различия коэффициентов термического расширения пленки и подложки. При отжиге в пленке, нанесенной на подложку с низким коэффициентом термического расширения (в данном случае  $\text{SiO}_2$ ), будут возникать сжимающие напряжения, приводящие к диффузионному переносу материала пленки в окно, где те же напряжения, если и возникнут, то будут гораздо меньше. Это согласуется с известными данными о величине коэффициента линейного расширения для исследуемых веществ: золота, окиси кремния, арсенида галлия и фосфида индия. Кроме того, при данной геометрии контактных окон давление, возникающее за счет сил поверхностного натяжения со стороны поверхности с отрицательной кривизной, также способствуют движению атомов металла в область окон. Напряжения, возникающие в процессе термического отжига пленки на подложке, определяются выражением [4]

$$\sigma_t = (\alpha_{\text{пл}} - \alpha_{\text{подл}}) \Delta T E / (1 - \nu), \quad (1)$$

где  $E$  — модуль Юнга пленки,  $\nu$  — коэффициент Пуассона,  $\alpha_{\text{пл}}$  и  $\alpha_{\text{подл}}$  — коэффициенты термического расширения пленки и подложки соответственно. Исходя из этого выражения можно оценить разность сжимающих напряжений в пленке металла на  $\text{SiO}_2$  и в области окна

$$\Delta \sigma = (\alpha_1 - \alpha_2) \Delta T E / (1 - \nu), \quad (2)$$

где  $\alpha_1$ ,  $\alpha_2$  — соответственно коэффициенты термического расширения полупроводника (GaAs или InP) и окиси кремния. При  $\Delta T \approx 300$  К,  $E = 80$  ГПа,  $\nu = 0.42$  (для золота),  $\alpha_2 = 0.5 \cdot 10^{-6}$  К $^{-1}$  [6],  $\alpha_1 = 6.86 \cdot 10^{-6}$  К $^{-1}$  (для GaAs) [7],  $\alpha_1 = 4.75 \cdot 10^{-6}$  К $^{-1}$  (для InP) [7]. Исходя из этих данных

для GaAs оценка даст  $\Delta \sigma \approx 0.3$  ГПа, для InP,  $\Delta \sigma = 0.2$  ГПа. Оценку избыточного давления, обусловленного кривизной поверхности границы окон, можно получить из формулы Лапласа

$$\Delta z = \beta / R, \quad (3)$$

где  $\beta$  — величина поверхностного натяжения пленки (для золота  $\beta \approx 140$  мН/м),  $R$  — радиус окна. Для окон диаметром 10 мкм получим величину примерно на три порядка меньше той, которая обусловлена разницей коэффициентов термического расширения. Следовательно, в нашем случае основной причиной массопереноса является релаксация термических сжимающих напряжений в пленке металла.

Описанные процессы приведут, с одной стороны, к заполнению окон, утоньшению пленки металла вокруг них и к ее разрыву, а с другой стороны, — к образованию бугорков металла на  $\text{SiO}_2$ , утоньшению пленки вокруг них с последующим спадом ее на изолированные островки, причем коалесценция металлической пленки на  $\text{SiO}_2$  будет конкурирующим механизмом для процесса массопереноса в окна полупроводников. Вблизи окон перенос материала пленки в окна преобладает над зарождением и ростом бугорков. Это можно, по-видимому, объяснить малым по сравнению с окнами размером бугорков, поскольку диффузионный поток прямо пропорционален площади диффузационного фронта, кроме того, рост самих бугорков, имеющих положительную кривизну поверхности, будет стимулировать диффузионный перенос массы от бугорков к впадинам, т. е. к выравниванию поверхности и замедлению роста бугорков.

Использование описанных выше процессов массопереноса части пленки металла в окна полупроводника и коалесценции пленки металла до образования изолированных островков на  $\text{SiO}_2$  вдали от окон оказалось эффективным при создании невыпрямляющих контактов малых размеров. Так, при отжиге пленки золота толщиной  $\sim 0.05$  мкм с небольшими (до 5 % вес.) добавками германия при температуре  $T \sim 770$  К в течение 1 мин формируются электрически изолированные омические контакты диаметром  $\sim 10$  мкм к  $n = \text{InP}$  (рис. 1, e) с низким переходным сопротивлением  $\rho_k \approx 1.5 \cdot 10^{-5}$  Ом · см<sup>2</sup> при концентрации электронов в  $n$ -слое  $n \sim 10^{16}$  см<sup>-3</sup>.

#### Л и т е р а т у р а

- [1] Трусов Л. И., Холмянский В. А. Островковые металлические пленки. М.: Металлургия, 1973. 321 с.
- [2] Геузин Я. Е., Кагановский Ю. С., Кубец В. И., Макаровский Н. А. ФММ, 1975, т. 39, № 6, с. 1205—1210.
- [3] Kane W. M., Spratt J. P., Hershinger L. W. J. Appl. Phys., 1966, vol. 37, N 5, p. 2085—2089.
- [4] Presland A. E. B., Price G. L., Trimm D. L. Surf. Sci., 1972, vol. 29, N 2, p. 424—434.
- [5] Геузин Я. Е., Макаровский Н. А., Богданов В. В. ФММ, 1978, т. 45, № 2, с. 347—353.
- [6] Броудай И., Мерей Дж. Физические основы микротехнологии. М.: Мир, 1985. 494 с.
- [7] Стрельченко С. С., Лебедев В. В. Соединения  $A^3B^5$ . Справочник. М.: Металлургия, 1984. 144 с.

Институт радиотехники  
и электроники АН СССР  
Москва

Поступило в Редакцию  
12 июня 1987 г.